INPHARNMED Journal (Indonesian Pharmacy and Natural Medicine Journal)

ISSN: 2580-7269 (Online), 2580-6637 (Print) **DOI: 10.21927/inpharnmed.v8i1.4402** 

# Review: Karakterisasi Hasil Sintesis Nanopartikel Perak Menggunakan Bioreduktor Berbagai Tanaman sebagai Anti Bakteri Staphylococcus aureus

Sundari Desi Nuryanti\*, Wahyu Yuliana Solikah, Mahmudahtus Safitri Salsabillah, Nabahah Putri Afifah, Nadia Salma Fauzia, Restika Leni Ayu Anggraeni

Prodi S1 Farmasi, Fakultas Ilmu-Ilmu Kesehatan, Universitas Alma Ata \*Email: sundaridesi@almaata.ac.id

### **Abstrak**

Review artikel ini ditujukan untuk membahas berbagai macam karakterisasi hasil sintesis nanopartikel perak menggunakan berbagai tanaman sebagai antibakteri. Berdasarkan hasil review dapat dinyatakan bahwa nanopartikel perak yang disintesis berfungsi sebagai antibakteri terutama *Staphylococcus aureus*. Nanopartikel dapat disintesis menggunakan bioreduktor antara lain kulit pinang, daun ketumpang air, jeruk, mangga, neem/mimba, onion, tomat, daun bidara, keladi Sarawak, daun kayu tulak, daun sendok, dan papaya. Nanopartikel yang disintesis akan dikarakterisasi menggunakan beberapa instrument antara lain Spectroscopy UV-Visible, Spectroscopy Fourier Transform InfraRed (FTIR), Scanning Electron Microscope (SEM), X-Ray Diffraction (XRD), Particle Size Analyzer (PSA), Transmission Electron Microscope (TEM), Dynamic Light Scattering (DLS), Atomic Force Microscopy (AFM), Surface Plasmon Resonance (SPR), dan Zeta sizer/Zeta potensial testing. Beberapa hasil sintesis nanopartikel menggunakan bioreduktor memenuhi syarat sebagai nanopartikel, dan beberapa lainnya belum memenuhi.

Kata kunci: bioreduktor; karakterisasi; nanopartikel

# Review: Characterisation of silver nanoparticle synthesis using bioreactors of various plants as anti-bacterial Staphylococcus aureus

### **Abstract**

This review article is intended to discuss various characterisations of the results of synthesising silver nanoparticles using various plants as antibacterials. Based on the results of the review, it can be stated that the synthesised silver nanoparticles function as antibacterials, especially against Staphylococcus aureus. Nanoparticles that can be synthesised using bioreactors include areca nut peel, krumping water leaves, orange, mango, neem/neem, onion, tomato, bidarka leaves, Sarawak taro, teak wood leaves, spoon leaves, and papaya. The synthesised nanoparticles will be characterised using several instruments, including UV-visible spectroscopy, Fourier Transform InfraRed (FTIR) Spectroscopy, Scanning Electron Microscope (SEM), X-Ray Diffraction (XRD), Particle Size Analyzer (PSA), Transmission Electron Microscope (TEM), Dynamic Light Scattering (DLS), Atomic Force Microscopy (AFM), Surface Plasmon Resonance (SPR), and Zeta sizer/Zeta potential testing. Some results of nanoparticle synthesis using bioreactors meet the requirements of nanoparticles, and others do not.

**Keywords**: bioreactors; characterization; nanoparticles

Copyright©2023 by Authors, published by Inpharnmed Journal

This open-access article is distributed under the Creative Commons Attribution-NonCommercial (CC BY NC) 4.0 International License.

(https://creativecommons.org/licenses/by/4.0/)

Received: 29 Mei 2024 Accepted: 26 Agustus 2024

#### **PENDAHULUAN**

Bakteri *Staphylococcus Aureus* (SA) merupakan salah satu penyebab morbiditas dan mortalitas di seluruh dunia akaibat dari infeksinya <sup>1</sup>. Bakteri ini menyebabkan berbagai macam penyakit antara lain masalah kulit, infertilitas, infeksi tulang dan otot, infeksi saluran kencing, dan lain sebagainya <sup>2</sup>. Selain itu S.aureus juga menjadi penyebab utama pneumonia dan infeksi saluran napas lainnya <sup>3</sup>. Kematian yang disebabkan oleh bakteri S. aureus lebih banyak dibandingkan kematian yang disebabkan oleh sindrom defisiensi imun yang seperti (AIDS), TBC, dan virus hepatitis <sup>4</sup>. Infeksi S. aureus mengalami reistensi antibiotic yang sering dialami pada isolate S. aureus yaitu S. aureus yang resisten terhadap metisilin (MRSA) <sup>5</sup>. Selain itu, s. aureus juga resisten terhadap antibiotic golongan beta lactam seperti penisilin dan turunannya <sup>6</sup>. Bahkan dalam bentuk antibiotic kombinasi juga menunjukkan resistensi terhadap hampir semua antibiotik yang tersedia.

Banyaknya kasus resistensi S. aureus terhadapa banyaknya golongan antibiotic sintetis, maka penggunaan antibiotic nanopartikel logam mulai minati. Aktivitas nanopartikel logam merupakan salah satu bidang yang menjanjikan di bidang penghantaran obat <sup>7</sup>. Dari berbagai nanopartikel logam, silver merupakam logam yang paling disukai. Silver nanopartikel (AgNPs) telah diaplikasikan dalam berbagai bidang yang berbeda, seperti fiber reinforce, penyimpanan makanan, pengiriman obat, produk kosmetik, sensor gas, bahan superkonduktor, komponen elektronik kriogenik, pelapis, antibakteri dan aplikasi lingkungan lainnya <sup>8</sup>. Sintesis nanopartikel secara umum mengahsilkan limbah yang senyawa beracun. Cemaran limbah hasil sintesis nanopartikel dapat berdampak pada pencemaran lingkungan, sehingga perlu dicari alternatif lain yang dapat meminimalkan cemaran hasil nanopartikel seperti penggunaan bahan alam sebagai reduktor selama proses pembentukan nanopartikel berlangsung <sup>9</sup>.

Senyawa nanopartikel hasil sintesis perlu diuji atau dikarakterisasi untuk menjamin senyawa tersebut baik secara kriteria fisika dan kimia sebelum digunakan sebagai antibakteri. Karakterisasi nanopartikel sintesis berdasarkan absorbansi pada Panjang maksimum menggunakan Spectroscopy UV-Visible, mengetahui gugus fungsi yang terdapat pada senyawa menggunakan Spectroscopy Fourier Transform InfraRed (FTIR), mengukur ukuran partikel dan morfologi partikel yang terbentuk menggunakan Scanning Electron Microscope (SEM), X-Ray Diffraction (XRD), Particle Size Analyzer (PSA), Transmission Electron Microscope (TEM), Dynamic Light Scattering (DLS), Atomic Force Microscopy (AFM), Surface Plasmon Resonance (SPR), dan mengetahui sifat muatan permukaan nanopartikel dan berkaitan dengan interaksi elektrostatiknya menggunakan Zeta sizer/Zeta potensial testing.

## **METODE PENELITIAN**

Metode Penelitian dilakukan dengan cara mengumpulkan jurnal ilmiah secara online yang telah dipublikasikan pada 10 tahun terakhir (2014-2024) menggunakan istilah pencarian atau *keyword* tertentu. Referensi yang digunakan adalah semua artikel primer yang melakukan uji karakterisasi sintetis nanopartikel perak dengan menggunakan berbagai macam tanaman yang terdapat di Indonesia sebagai reduktor pada proses sintesis.

INPHARNMED Journal, Vol. 8, No. 1, Tahun 2024, Halaman 49-61 Available from: http://ejournal.almaata.ac.id/index.php/INPHARNMED

#### HASIL DAN PEMBAHASAN

Berikut daftar tanaman yang digunakan sebagai acuan dalam penulisan artikel ini dapat dilihat pada Tabel 1.

**Tabel 1**. Jenis Tanaman, Bakteri, dan Metode Karakterisasi yang Digunakan

No	Tanaman	Bakteri	Karakterisasi
1	Kulit Pinang (Areca Catechu L.) <sup>18</sup>	Escherichia coli dan S.aureus	UV-VIS, FTIR, SEM, XRD
2	Ketumpang Air (Peperomia pellucida (L.) Kunth) <sup>2</sup>	S.aureus	UV-VIS, PSA
3	Sweet Orange (Citrus sinensis)30	S.aureus and S.epidermidis	UV-VIS,
			TEM
4	Mango ( <i>Mangifera indica</i> ) <sup>23</sup>	S.aureus	UV-VIS,
			SEM,
			TEM
5	Neem ( <i>Azadirachta indica</i> ), Onion ( <i>Allium</i> ) and	S.aureus	UV-VIS,
	Tomato (Lycopersicum esculentum) <sup>2</sup>		XRD,
			DLS,
			AFM,
			SEM,
			TEM,
			FTIR
6	Daun Bidara ( <i>Ziziphus Spina-Christi</i> ) <sup>16</sup>	S.aureus	UV-VIS,
			PSA
7	Keladi Sarawak (Alocasia Macrorrhizos)33	Escherichia coli dan S.aureus	SPR
			UV-VIS
			SEM
8	Kayu tulak Leaf	Escherichia coli dan S.aureus	UV-VIS,
	(Schefflera Elliptica Harms) <sup>28</sup>		PSA,
			TEM
9	Air Daun Sendok ( <i>Plantago</i>	S.aureus dan E.Coli dan	DLS,
	major L.) <sup>24</sup>	Pseudomonas	SEM
			XRD
10	Papaya ( <i>Carica Papaya L</i> ) Seed <sup>27</sup>	Propionibacterium acnes	UV-VIS,
			PSA,
			Zeta sizer
			FTIR,
			SEM

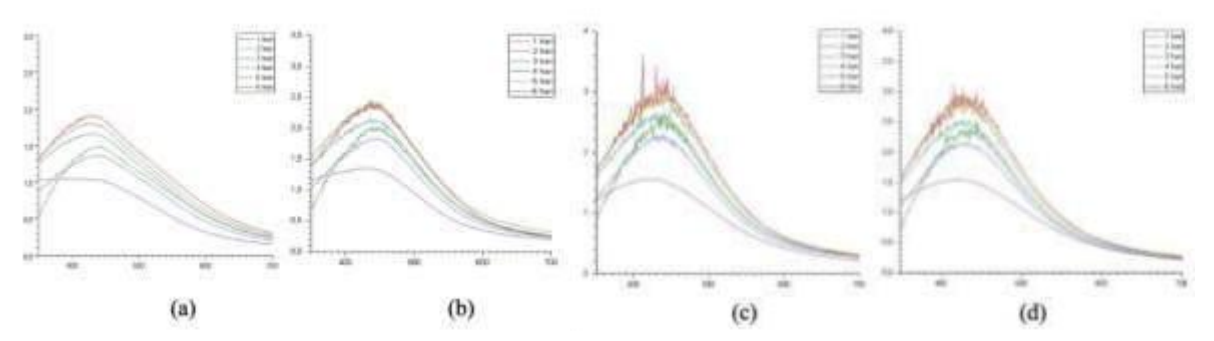
Berdasarkan jurnal di atas, karakterisasi nanopartikel perak yang dilakukan antara lain Spectroscopy UV-Visible, Spectroscopy Fourier Transform InfraRed (FTIR), Scanning Electron Microscope (SEM), X-Ray Diffraction (XRD), Particle Size Analyzer (PSA), Transmission Electron. Microscope (TEM), Dynamic Light Scattering (DLS), Atomic Force Microscopy (AFM), Surface Plasmon Resonance (SPR), dan Zeta sizer/Zeta potensial testing.

## Spektroskopi UV-Visible

Spektroskopi UV-Visible digunakan untuk menentukan panjang gelombang maksimal senyawa nanopartikel yang terbentuk. Semakin kecil partikel yang terbentuk maka panjang gelombangnya

Karakterisasi Hasil Sintesis Nanopartikel Perak Menggunakan Bioreduktor Berbagai Tanaman sebagai Anti Bakteri Staphylococcus aureus

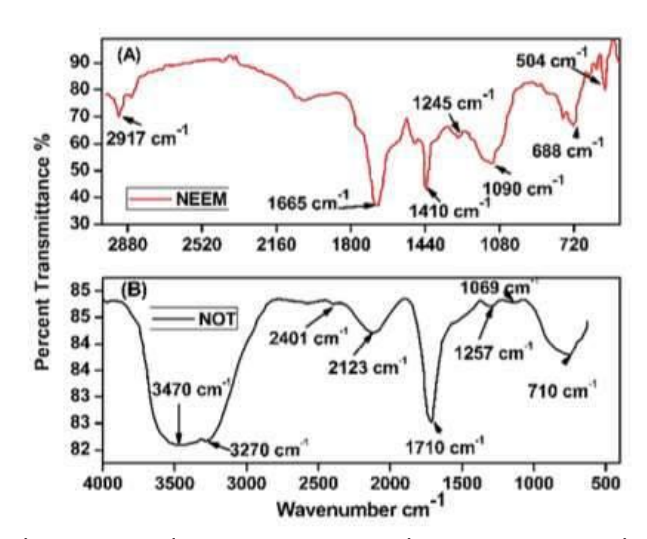
semakin kecil dan absorbansinya semakin besar<sup>\*</sup>. Secara teori, variasi pita berhubungan dengan variasi warna, sedangkan variasi warna berkaitan dengan perbedaan ukuran nanopartikel<sup>10</sup>. Perkembangan pita menunjukkan bahwa ion perak yang ada dalam larutan perak nitrat berhasil direduksi menjadi nanopartikel perak ketika terkena ekstrak tanaman<sup>2</sup>. Gambar 1 menunjukkan bahwa terbentuknya nanopartikel perak pada rentang panjang gelombang maksimum 400 nm - 450 nm yang meningkat dengan seiring waktu<sup>11</sup>.



Gambar 1. Hasil spektrum serapan UV-Vis dari nanopartikel perak dengan variasi konsentrasi AgNO3 (a)1 mM, (b)2 mM, (c)3 mM dan (d)4 mM<sup>16</sup>

### Spectroscopy Fourier Transform InfraRed (FTIR)

Analisis FTIR digunakan untuk mengkonfirmasi adanya gugus fungsi. Selian itu juga bertujuan untuk mengkarakterisasi rancangan biomolekul yang bertanggung jawab terhadap pembentukan AgNPs dengan mereduksi ion perak menjadi Ag° dan stabilisasinya sebagai agen capping. Terjadinya proses oksidasi akibat dari proses reduksi nanopartikel perak akan mengakibatkan terjadinya pergeseran bilangan gelombang yang menunjukan bahwa telah terjadi interaksi antara gugus fungsi dengan nanopartikel perak<sup>12</sup>.



Gambar 2. Spektra FTIR pada AgNPs menggunakan tanaman Mimba/Neem (A) dan

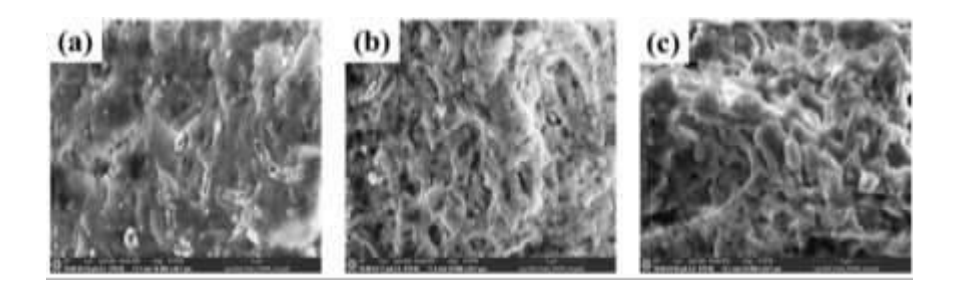
INPHARNMED Journal, Vol. 8, No. 1, Tahun 2024, Halaman 49-61 Available from: http://ejournal.almaata.ac.id/index.php/INPHARNMED

# Mimba/Neem, Onion dan Tomat (B)

Gambar 2 menunjukkan beberapa puncak terlihat pada kisaran antara 3500–3200 cm<sup>-1</sup> menunjukkan adanya uluran O–H dan alkohol serta fenol yang terikat H-. Puncak pada Panjang gelombang 2260–2100 cm<sup>-1</sup> menunjukkan uluran ikatan (–C==C–), yang mengindikasikan adanya alkena, sedangkan puncak yang ditemukan tekukan di sekitar 1650–1580 cm<sup>-1</sup> menunjukkan adanya ikatan (N–H), yang berhubungan dengan amina primer, dan puncaknya ada tekukan di sekitar 690–500 cm<sup>-1</sup> menunjukkan ikatan (–C==C–H:C.H), yang juga berhubungan dengan alkena, dan tekukan antara 1700– 1400 cm<sup>-1</sup> berperan untuk pembentukan nanopartikel perak. Ekstrak tanaman mempunyai peran ganda yaitu sebagai zat pereduksi dan zat penstabil. Reduksi nanopartikel perak terjadi karena adanya senyawa fenolik, terpenoid, polisakarida dan favones dalam ekstrak<sup>13</sup>. Senyawa flavonoid dan terpenoid yang terdapat dalam ekstrak diklaim bertanggung jawab dalam stabilisasi nanopartikel. Hasil FTIR membuktikan bahwa senyawa flavonoid dan tripenoid berperan sebagai reduktor dan capping agent.

# Scanning Electron Microscope (SEM)

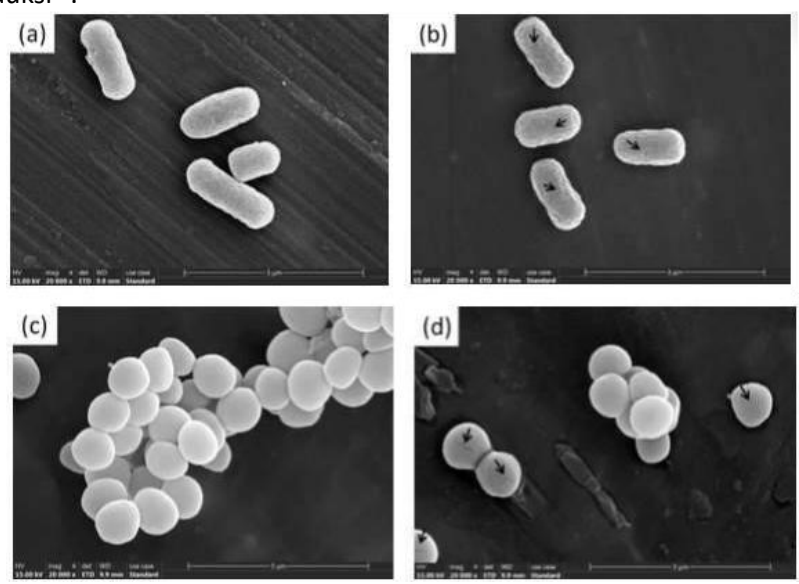
Penggunaan instrument Scanning Electron Miscroscope ditujukan untuk melihat morfologi partikel yang terbentuk kecenderungan nanopartikel perak untuk beragregasi (Gambar 3).



**Gambar 3.** Hasil analisis SEM (a) AgNP PVA 1% perbesaran 10.000x, (b) AgNP PVA 3% perbesaran 10.000x, dan (c) AgNP PVA 5% perbesaran 10.000x <sup>18</sup>

Secara morfologi (Gambar 4) dari pengamatan dengan menggunakan SEM pada Gambar 3, pembentukan nanopartikel perak dengan konsentrasi AgNO3 yang di pakai sebesar 0,05M telah terbentuk dengan permukaan yang dapat diamati yaitu seperti berbentuk bongkahan kecil-kecil dan berbentuk oval atau bulat (*Spherical*). Hasil SEM Nanopartikel perak menunjukan bahwa morfologi dari nanopartikel perak memiliki struktur dengan permukaan yang halus dengan partikel yang tidak seragam. Dari hasil yang di dapatkan, ukuran partikel nya bisa diperkirakan kecil dari 100 nm. Hasil karakterisasi ini membuktikan bahwa perak yang dihasilkan memiliki ukuran nano seperti yang dihasilkan dari karakterisasi dengan menggunakan spektrofotometer UV-Vis. Terdapat keberagaman dari ukuran partikelnya dimana nanopartikel perak yang dihasilkan memiliki ukuran yang

bervariasi akibat efek dari agregasi nanopartikel dan memiliki partikel yang tidak seragam. Hal ini disebabkan karena agregasi nanopartikel perak yang dipengaruhi konsentrasi prekusor AgNO3 dan kemurnian pereduksi \_\_\_\_\_\_\_

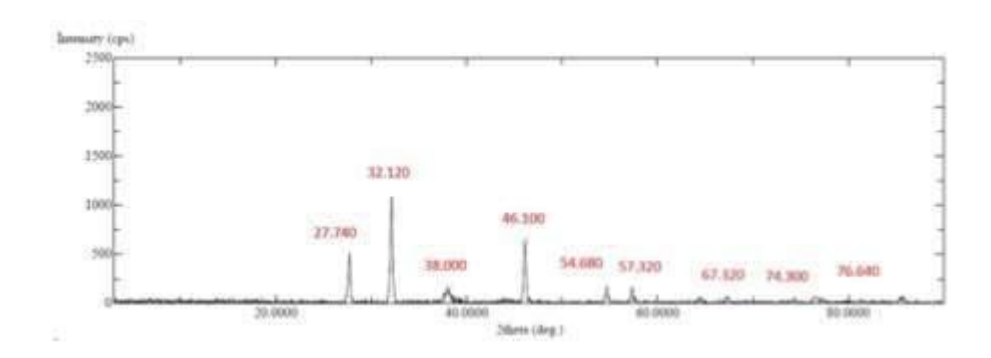


**Gambar 4.** Pengamatan SEM terhadap perubahan morfologi bakteri uji ((a) E. coli yang diberi perlakuan dengan kontrol negatif diperbesar 20.000×, (b) E. coli yang diberi perlakuan AgNP diperbesar 20.000×, (c) S. aureus yang diberi perlakuan dengan kontrol negatif diperbesar 20.000×, diperbesar 20.000×, (d) S. aureus yang diberi perlakuan AgNP diperbesar 20.000×)<sup>13</sup>.

Gambar 4 menunjukkan representatif bakteri E. coli dan S. aureus sebelum dan sesudah diberi perlakuan AgNPs pada pembesaran 20.000×. Seperti yang ditunjukkan pada Gambar 4a, permukaan E. coli pada kelompok kontrol negatif halus, dengan sel utuh dan lengkap. Namun E. coli yang diberi AgNP menjadi kasar dan berkerut, sedangkan permukaan selnya rusak, seperti ditunjukkan pada Gambar 4b. Membran sel E. coli berkontraksi dan morfologi sel terdistorsi. Gambar 4c menunjukkan bahwa permukaan S. aureus pada kelompok kontrol negatif halus dan utuh secara seluler. Seperti diilustrasikan pada Gambar 4d, permukaan beberapa sel S. aureus pada kelompok eksperimen retak, menunjukkan bahwa AgNP menempel pada membran sel bakteri, menyebabkan kerusakan. Selain itu, zat granular lainnya diamati di sekitar S. aureus pada kelompok eksperimen, yang diduga merupakan AgNP. Selanjutnya Gambar 4b dan 4d menunjukkan bahwa sol AgNP yang disintesis menggunakan ekstrak kulit mangga menyebabkan perubahan morfologi pada E. coli dan S. aureus

# X-ray diffraction (XRD)

Tujuan dilakukan pengujian menggunakan XRD adalah untuk mendapatkan derajat kristanilitas. Data yang didapatkan dari hasil analisis XRD digunakan untuk menentukan ukuran partikel. Melalui data difraktogram dapat ditentukan ukuran kristal hasil sintesis dengan metode *Debye Schrrer*<sup>12</sup>.

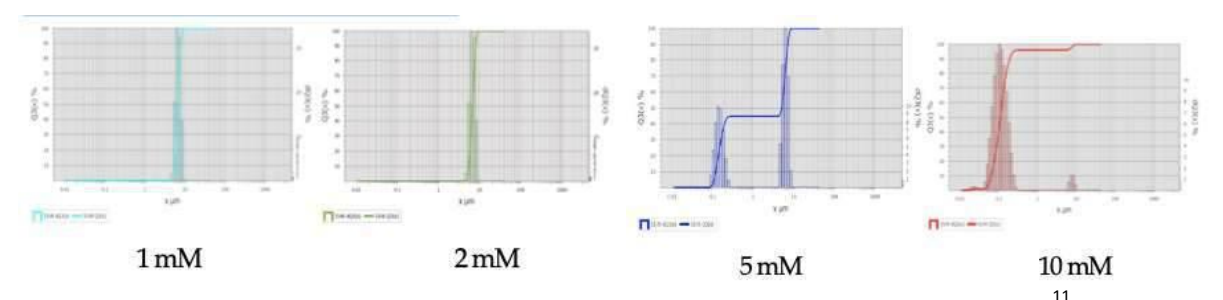


**Gambar 5**. Difraktogram X-Ray nanopartikel perak<sup>24</sup>

Gambar 5 menampilkan pola difraksi X-ray nanopartikel perak yang disintesis menggunakan ekstrak air *Plantago major* konsentrasi 0,25% pada suhu 70°C. Dari hasil analisa difragtogram dapat dinyatakan bahwa rendemen nanopartikel yang dihasilkan mengandung senyawa perak, dilihat dari *peak* kristalin rendemen yang menghasilkan pola yang mirip dengan peak pada standar referensi. Puncak difraksi 20 teramati pada 38,00°; 46,1°;67,32°; 76,64°. Profil pola difraktogram dengan jelas menggambarkan bahwa nanopartikel perak terdapat di dalam rendemen, dibandingkan dengan standard (JCPDS) file no.:040783<sup>14</sup>.

# Particle Size Analyser (PSA)

Sama halnya dengan scanning electron microscope, karakterisasi menggunakan *particle size analyzer* (Gambar 6)digunakan untuk menentukan ukuran partikel dan sebaran partikel yang terbentuk<sup>15</sup>.

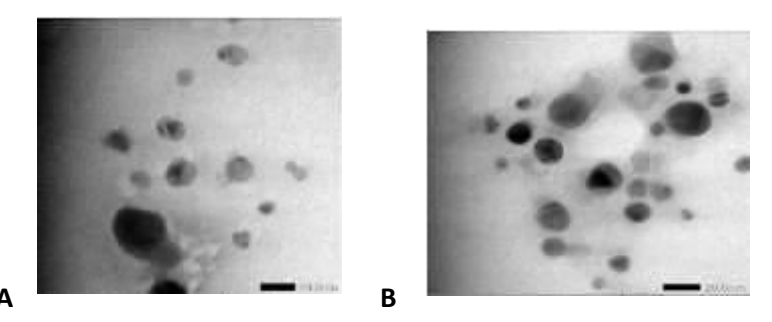


**Gambar 6**. Distribusi ukuran partikel perak berdasarkan variasi konsentrasi 11

Ukuran partikel yang dihasilkan sebanding dengan kecepatan gerak partikel. Partikel yang memiliki ukuran yang lebih kecil akan bergerak lebih cepat di dalam medium dibandingkan dengan partikel yang berukuran lebih besar. Gambar 6 menunjukkan karakteristik nanopartikel perak menunjukkan ukuran partikel terkecil terbentuk pada konsentrasi larutan tertinggi, yaitu konsentrasi 10 mM dengan ukuran partikel sebesar 0,41  $\mu$ m (410nm) yang menandakan bahwa ukuran nanopartikel belum terbentuk karena suatu partikel dapat dikatakan sebagai nanopartikel jika mempunyai ukuran 1-100nm.

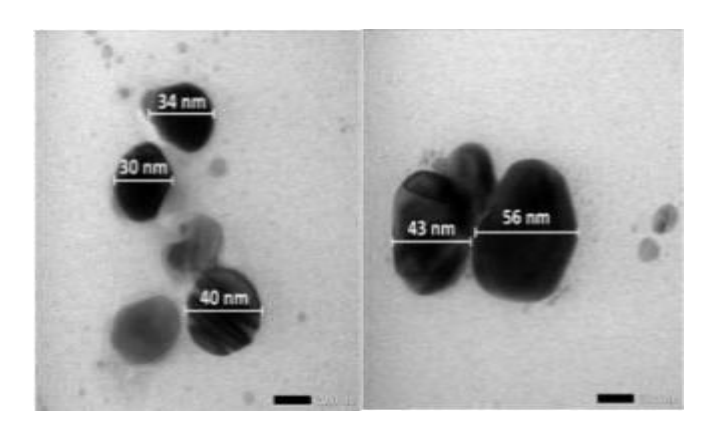
## Transmission Electron Microscope (TEM)

Seperti pada scanning electron microscope, penggunaan *transmission electron microscope* untuk mengetahui morfologi nanopartikel perak yang terbentuk yang dapat dilihat pada Gambar 7.



Gambar 7. Morfologi nanopartikel perak hasil sintesis (1 mM AgNO3) (a), (2 mM AgNO3) (b) 16

Hasil analisis TEM pada penelitian ini ditunjukkan pada Gambar 8, Gambar TEM menunjukkan nanopartikel perak dengan berbagai bentuk, antara lain berbentuk bola, heksagonal, dan segitiga. Ini identik dengan nanopartikel perak yang disintesis dari daun peluru meriam. Berbagai senyawa terdapat dalam ekstrak daun kayu tulak, seperti polisakarida, polifenol, dan protein yang bertanggung jawab menghasilkan nanopartikel dalam berbagai bentuk <sup>16</sup>.



**Gambar 8**. Citra TEM Nanosilver 17

Analisis TEM yang dilakukan, mengkonfirmasi terbentuknya *nanosilver* dari hasil biosintesis dengan menggunakan bioreduktor. *Nanosilver* yang dihasilkan berbentuk bulat dengan ukuran partikel terkecil 30 nm sampai ukuran partikel terbesar 56 nm. Karakterisasi TEM *nanosilver* dari hasil biosintesis dengan menggunakan ekstrak kulit buah jeruk manis (*C. sinensis*) menunjukkan nanosilver terdistribusi secara polidispers dan berbentuk bulat. Partikel-partikel besar yang ditemukan dari hasil karakterisasi TEM baik pada penelitian- penelitian yang telah disebutkan di atas maupun pada penelitian eksperimental ini, disebabkan karena kandungan senyawa- senyawa dalam bioreduktor yang kompleks dapat memberikan efek signifikan terhadap sifat aglomerasi dan dekomposisi *nanosilver* yang dihasilkan <sup>16</sup>.

INPHARNMED Journal, Vol. 8, No. 1, Tahun 2024, Halaman 49-61 Available from: http://ejournal.almaata.ac.id/index.php/INPHARNMED

Karakterisasi Hasil Sintesis Nanopartikel Perak Menggunakan Bioreduktor Berbagai Tanaman sebagai Anti Bakteri *Staphylococcus aureus* 

## Dynamic Light Scattering (DLS)

*Dynamic Light Scattering* digunakan untuk mengukur ukuran, distribusi ukuran molekul dan partikel yang biasanya di wilayah submikron, dan lebih rendah dari 1nm<sup>2</sup>. Parameter distribusi ukuran partikel ditentukan dalam nilai Polydispersity Index (PDI).

**Tabel 2.** Ukuran rata-rata nanopartikel perak pada masing-masing suhu sintesis dan konsentrasi ekstrak <sup>14</sup>

Suhu Sintesis (°C)		Ukuran Partikel (nm)	
	Rata-rata ± SD dari 3 replikasi		
	Ekstrak 0,125%	Ekstrak 0,25%	Ekstrak 0,5%
60	146,467 +1,436	138,367 ±3,742	482,633 +36,341
70	149,600 +2,042	129,200 +4,104	528,167 +29,824
80	174,867 +7,433	144,267 +2,060	676,267 +147,107

**Tabel 3.** Nilai *polydispersity index* nanopartikel perak pada masing-masing suhu dan konsentrasi ekstrak ekstrak

Cubu Cintosis (°C)		Polydispersity index	
Suhu Sintesis (°C)	Ekstrak 0,125%	Ekstrak 0,25%	Ekstrak 0,5%
60	0,2607	0,2420	0,3563
70	0,2073	0,2500	0,2533
80	0,2397	0,2467	0,2850

Dari hasil pengukuran pada Tabel 2 dan Tabel 3, dapat dilihat tren ukuran nanopartikel berbanding lurus dengan pertambahan suhu sintesis pada semua konsentrasi ekstrak tanaman, kecuali pada konsentrasi ekstrak 0,25%. Sedangkan pada Tabel 3, PDI dengan nilai terkecil hasil rata-rata dari 3 kali pengulangan diperoleh pada sintesis dengan konsentrasi ekstrak tanaman 0,125% pada suhu 70°C, yaitu sebesar 0,2073. Suatu Suatu sampel dikatakan monodisper jika nilai PDI kurang dari 0,1. Sehingga nanopartikel perak yang diseintetis menggunakan reduktor daun sendok ukurunnya diatas 100nm dan nilai PDI nya lebih dari 0,1.

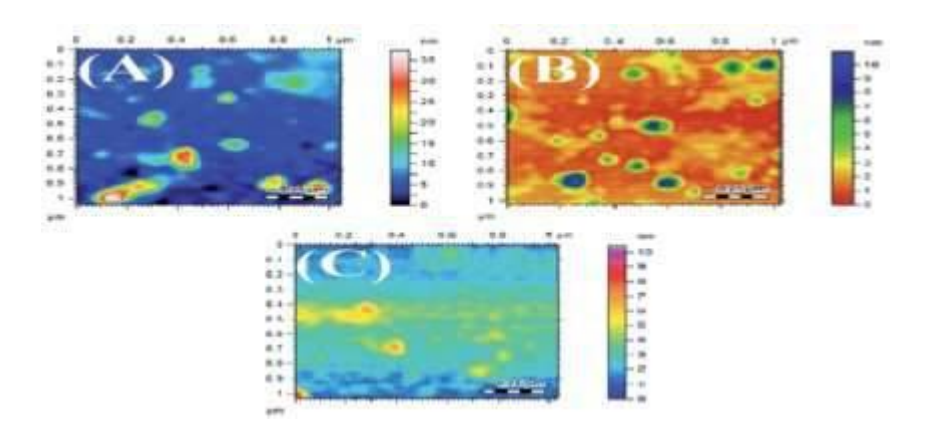
**Tabel 4.** Ukuran rata-rata nanopartikel perak dan nilai *polydispersity index* nanopartikel perak pada masing-masing ekstrak dan pH

Nama samula	рН	DLS	
Nama sample		Size range (nm)	PDI
NE	5	6 – 28	0,289
	7	3 – 28	0,389
	9	3 – 10	0,486
NOT	5	15 – 500	0,244
	7	15 – 600	0,812
	9	10 - 800	1,00

Kurva DLS menunjukkan bahwa partikel dengan ukuran berbeda dapat diperoleh dengan memvariasikan pH larutan. Dari nilai PDI terlihat bahwa ekstrak Neem, Onion, Tomat menghasilkan AgNP dengan distribusi ukuran yang luas dibandingkan dengan Neem. Pengaruh pH semua ekstrak juga menunjukkan bahwa nilai ukuran partikel lebih rendah untuk media asam dan lebih tinggi untuk media basa. Dari Tabel 4 dapat dilihat bahwa nilai PDI ekstrak Neem, Onion, Tomat lebih besar dari 0,1. Distribusi ukuran yang dievaluasi melalui DLS selalu lebih baik dibandingkan dengan spektroskopi UV-vis.

## Atomic Force Microscopy (AFM)

Penggunaan *Atomic Force Microscopy* dengan tujuan untuk mengevalusi ukuran partikel yang disintesis pada Gambar 9 dan Tabel 5.



**Gambar 9.** Gambar AFM AgNP menggunakan ekstrak Neem/Mimba pada pH 5 (A), pH 7(B) dan pH 9 (C) $^2$ 

**Tabel 5.** Ukuran rata-rata nanopartikel perak nanopartikel perak pada masing-masing ekstrak dan pH<sup>2</sup>

Nama Sampel	рН	AFM
=		Size (nm)
NE	5	9
	7	2
	9	2
NOT	5	25
	7	30
	9	20

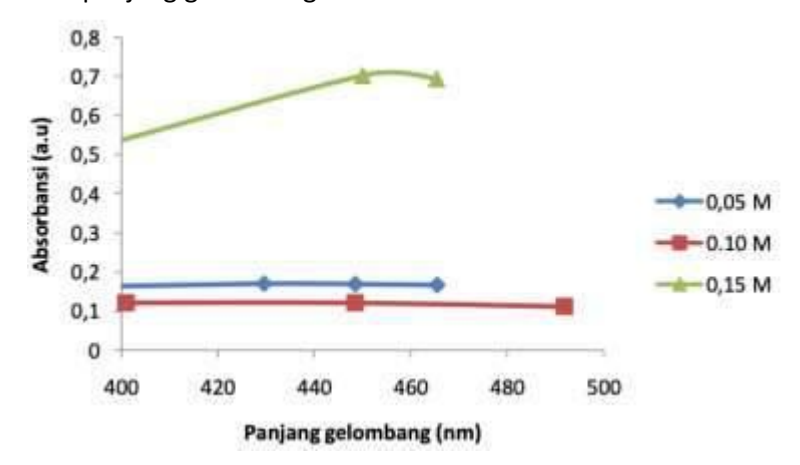
Keterangan: NE: neem ekstrak; NOT: neem, onion, tomato;

Hal ini dapat dibuktikan dari hasil AFM yang diberikan pada Tabel 5 bahwa AgNP yang dihasilkan menggunakan ekstrak Neem/Mimba lebih halus dibandingkan partikel yang dikembangkan dengan ekstrak Neem/Mimba, Bawang, dan Tomat. Pengaruh pH terhadap ukuran partikel yang diperoleh konsisten dengan hasil yang diperoleh XRD<sup>2</sup>.

Karakterisasi Hasil Sintesis Nanopartikel Perak Menggunakan Bioreduktor Berbagai Tanaman sebagai Anti Bakteri *Staphylococcus aureus* 

### Surface Plasmon Resonance (SPR)

Surface Plasmon Resonance (SPR) merupakan gelombang elektromagnetik evanescent yang dibangkitkan oleh adanya kopling antara medan elektromagnetik (dari laser) dengan elektron-elektron di sekitar permukaan logam. SPR menjadi salah satu metode inisiasi dalam mengindikasi terbentuknya nanopartikel suatu logam sebelum dilakukan analisis yang lebih detail seperti ukuran partikel dengan Particle Size Analyzer (PSA), bentuk Kristal dengan X- Ray Dispersive (XRD) dan morfologi partikel dengan Scanning Microscope Electron (SEM) atau Transmission Electron Microscope (TEM). SPR dapat dianalisis menggunakan instrumen spektrofotometer UV-Visibel dengan mengamati pola absorbansi versus panjang gelombang tertentu dari suatu larutan atau koloid logam.



**Gambar 10**. Spektra UV-Visibel nanopartikel perak hasil biosintesis menggunakan ekstrak air keladi sarawak Alocasia macrorrhizos <sup>18</sup>

Pada Gambar 10 menunjukkan kurva spektrum absorbansi koloid AgNPs hasil biosintesis menggunakan ekstrak air keladi sarawak (Alocasia macrorrhizos). Masing- masing variasi konsentrasi AgNO3 menunjukkan karakter SPR yaitu panjang gelombang yang memberikan absorbansi pada panjang gelombang sekitar 400,9- 450,0 nm. Hal ini menegaskan telah terbentuk nanopartikel perak karena panjang gelombang 400,9-450,0 nm termasuk dalam rentang serapan larutan nanopartikel perak yaitu 395-515 nm. Dari gambar 10 dapat dilihat bahwa semakin tinggi konsentrasi larutan AgNO3 yang digunakan dalam biosintesis AgNPs maka absorbansi juga semakin tinggi. Hal ini mengindikasikan bahwa semakin tinggi konsentrasi AgNO3 yang terlibat dalam biosintesis maka jumlah AgNPs yang terbentuk juga semakin tinggi<sup>18</sup>.

# Zeta sizer/Zeta Potensial testing

Potensi Zeta/Zeta *potensial testing* pada Tabel 6, digunakan untuk mengkarakterisasi sifat muatan permukaan nanopartikel dan berkaitan dengan interaksi elektrostatiknya. Interaksi elektrostatik akan menentukan kecenderungan agregasi dan tolakan partikel. Potensi zeta adalah ukuran muatan permukaan partikel yang terdispersi dalam media pendispersi. Idealnya, ketinggiannya harus lebih tinggi dari media pendispersi untuk mencegah agregasi<sup>17</sup>.

Tabel 6. Nilai zeta potensial

rabel of thial zeta potensial		
Sampel	Zeta Potensial (mV)	
AgNPs ekstrak etanol biji	-7,7	
papaya suhu 65°C		

Nilai potensial zeta AgNPs sampel ekstrak etanol biji pepaya pada suhu 65°C sebesar -7,7 mV dapat dilihat pada Tabel 5. Nanopartikel yang memiliki nilai potensial zeta lebih kecil dari -30 mV dan lebih besar dari +30 mV mempunyai stabilitas lebih tinggi. Oleh karena itu, dapat dikatakan nanopartikel yang dihasilkan mempunyai stabilitas yang baik 18.

#### **DAFTAR PUSTAKA**

- 1. Cheung, G. Y. C., Bae, J. S. & Otto, M. Pathogenicity and virulence of Staphylococcus aureus. *Virulence* **12**, 547–569 (2021).
- 2. Chand, K. *et al.* Green synthesis, characterisation, and antimicrobial activity against Staphylococcus aureus of silver nanoparticles using neem, onion, and tomato extracts. *RSC Adv.* **9**, 17002–17015 (2019).
- 3. Tong, S. Y. C., Davis, J. S., Eichenberger, E., Holland, T. L. & Fowler, V. G. Staphylococcus aureus infections: Epidemiology, pathophysiology, clinical manifestations, and management. *Clin. Microbiol. Rev.* 28, 603–661 (2015).
- 4. Klevens, R. M. et al. Invasive methicillin-resistant Staphylococcus aureus infections in
- 5. The United States. J. Am. Med. Assoc. 298, 1763–1771 (2007).
- 6. Turner, N. A. et al. Nat Rev Microbiol. Nat Rev Microbiol 17, 203–218 (2019).
- 7. Lowy, F. D. Antimicrobial resistance: the example of SA. J. Biolaw Bus. 3, 53–59 (2003).
- 8. Kumar, V. V. & Anthony, S. P. Antimicrobial studies of metal and metal oxide nanoparticles. Surface Chemistry of Nanobiomaterials: Applications of Nanobiomaterials (Elsevier Inc., 2016). doi:10.1016/B978-0-323-42861-3.00009-1.
- 9. Akter, M. *et al.* A systematic review on silver nanoparticles-induced cytotoxicity: Physicochemical properties and perspectives. *J. Adv. Res.* **9**, 1–16 (2018).
- 10. Matutu, J. M., Maming & Taba, P. Sintesis Nanopartikel Perak dengan Metode Reduksi Menggunakan Buah Merah (Pandanus conoideus) Sebagai Bioreduktor. *Jur. Kim. Univ. Hasanuddin* 1–9 (2016).
- 11. Al-Rubaye, H. I., Al-Rubaye, B. K., Al-Abodi, E. E. & Yousif, E. I. Green Chemistry
- 12. Synthesis of Modified Silver Nanoparticles. J. Phys. Conf. Ser.. 1664, 1–26 (2020).
- Luthfia, C. D. M., Miswanda, D., Nasution, H. M. & Lubis, M. Sa. Sintesis Nanopartikel Perak Menggunakan Ekstrak Daun Bidara (Ziziphus Spina-Christi) Dan Uji Aktivitas Antibakteri Terhadap Bakteri Staphylococcus Aureus . *OBAT J. Ris. Ilmu Farm. dan Kesehat.* 2, 139–149 (2024).
- 14. Bemis, R., Deswardani, F., Heriyanti, H., Puspitasari, R. D. & Azizah, N. Green Synthesis of Silver Nanoparticles Using Areca Catechu L Peel Bioreductor as an Antibacterial Escherichia Coli and Staphylococcus Aureus. *IJCA (Indonesian J. Chem. Anal.* **6**, 176–15. 186 (2023).
- 16. Dubey, M., Bhadauria, S. & Kushwah, B. S. Green synthesis of nanosilver particles from the Eucalyptus hybrid (Safeda) leaf extract. *Dig. J. Nanomater. Biostructures* **4**, 537–543 (2009).
- 17. Dewi, K. T. A., Kartini, Sukweenadhi, J., & Avanti, C. Physical characteristics and

INPHARNMED Journal, Vol. 8, No. 1, Tahun 2024, Halaman 49-61

Available from: http://ejournal.almaata.ac.id/index.php/INPHARNMED

Nuryanti, Sundari Desi et al.

Karakterisasi Hasil Sintesis Nanopartikel Perak Menggunakan Bioreduktor Berbagai Tanaman sebagai Anti Bakteri *Staphylococcus aureus* 

- 18. Antibacterial activity of silver nanoparticles from green synthesis process using aqueous Plantago major L. extract. *Sci. Res.* **6**, 69–81 (2019).
- 19. Rahma, A. N. & Suratno, S. Optimisation of Silver Nanoparticle Biosynthesis with Papaya (Carica Papaya L) Seed Ethanol Extract and its Evaluation on Antibacterial Effects. *Walisongo J. Chem.* **6**, 12–21 (2023).
- 20. Aryasa, I. W. T. & Artini, N. P. R. Green Synthesis of Silver Nanoparticles using Kayu tulak
- 21. Leaf (Schefflera Elliptica Harms) Infusion as a Bio-reductant and Its Antibacterial
- 22. Activity. J. Kim. Sains dan Apl. 25, 212-217 (2022).
- 23. Janosik, S. M. SNI Biskuit. *NASPA J.* **42**, 1 (2005).
- 24. Masykuroh, A. & Puspasari, H. Aktivitas Anti Bakteri Nano Partikel Perak (Npp) Hasil Biosintesis Menggunakan Ekstrak Keladi Sarawak Alocasia Macrorrhizos terhadap Staphylococcus aureus dan Escherichia coli. *Bioma J. Biol. Makassar* 7, 76–85 (2022).